

## 動的水平載荷試験システムによる鋼管杭の地盤反力評価

Evaluation of subgrade reaction of steel-pipe piles using a dynamic horizontal loading test system

富澤幸一<sup>1)</sup>・三浦清一<sup>2)</sup>・松本樹典<sup>3)</sup>・Pastsakorn Kitiyodom<sup>4)</sup>・小嶋英治<sup>5)</sup>・熊谷裕道<sup>6)</sup>  
Kouichi Tomisawa · Seiichi Miura · Tatsunori Matsumoto · Pastsakorn Kitiyodom · Eiji Kojima and Hiromichi Kumagai

<sup>1)</sup> 寒地土木研究所主任研究員, 寒地地盤チーム (〒062-8602 札幌市豊平区平岸1条3丁目1-34)

<sup>2)</sup> 工博 北海道大学大学院教授, 工学研究科 (〒160-0004 札幌市北区北13条西8丁目)

<sup>3)</sup> 工博 金沢大学大学院教授, 自然科学研究科 (〒920-1192 金沢市角間町)

<sup>4)</sup> 工博 金沢大学大学院助手, 自然科学研究科 (〒920-1192 金沢市角間町)

<sup>5)</sup> 工博 ジャパンパイプ主席研究員, 技術開発部 (〒104-0007 東京都中央区日本橋浜町2-1-1)

<sup>6)</sup> ジャパンパイプ主任研究員, 技術開発部 (〒104-0007 東京都中央区日本橋浜町2-1-1)

A dynamic horizontal loading system based on the wave theory was developed as a new on-site pile testing method. In this test method, the horizontal resistance of piles is calculated by applying an impact load in the horizontal direction to the pile heads using a hammer and conducting wave motion analysis of the measured acceleration and strain. A series of dynamic horizontal loading tests of steel-pipe piles was conducted and results were compared with those of a static horizontal loading test conducted at the same site. It was shown that the relationship between the load and pile displacement and the coefficient of horizontal subgrade reaction obtained by the dynamic horizontal loading test has relatively favorable compatibility with the values from the static test.

**Key Words:** horizontal loading test, dynamic, development, steel pipe pile, subgrade reaction

キーワード: 水平載荷試験 動的 開発 鋼管杭 地盤反力

### 1. はじめに

杭基礎設計法の性能規定化に伴い、地盤性状を的確に把握し、杭の挙動をより正確に予測することが重要となる。設計時には杭基礎の支持力を地盤調査データから解析するが、杭の力学挙動を知る最も信頼性が高い方法は実杭の載荷試験である。しかしながら、一般に実施される静的載荷試験は比較的大きな費用および時間を要する。

そこで筆者らは、新たな現場杭載荷試験法として、杭の動的水平載荷試験システムを開発した。本法を現場で活用することで従来の静的水平載荷試験法に対し、試験費用および時間を縮小できる。本試験システムは「杭の動的水平載荷試験法及び動的水平載荷試験装置」として平成17年11月に特許申請<sup>1)</sup>した。開発した試験法は、動的水平載荷装置システム、同計測システム、同マッチング解析システムから構成される。

本研究では、実現場の鋼管杭で動的水平載荷試験を実施し、杭基礎の水平支持機構を検証した。同時に、同位置で実施した静的水平載荷試験値と対比し、開発した試験システムの妥当性を確認し、今後の活用法について展望した。

### 2. 動的水平載荷試験法の実用化

平成14年5月に「地盤工学会基準 杭の鉛直載荷試験方法・同解説」<sup>2)</sup>が改訂され、杭の衝撃載荷試験法が基準化された。この試験法は、杭打込み時に杭頭に与えた鉛直方向の打撃力を波動解析し、杭支持力を算定するものである。近年、打込み杭の載荷試験法として実現場で活用されている。一方、杭の水平載荷試験方法については静的な方法<sup>3)</sup>のみがあり動的試験法に対応する技術がない。

そこで、一連の研究により、新たな杭の動的水平載荷試験法として、動的水平載荷装置システム、同計測システムおよび同マッチング解析システムを開発した<sup>4), 5), 6)</sup>。この試験法の活用により、鉛直の衝撃試験と同様に、試験費用・時間を概ね1/3程度に縮小することが可能となる。

杭の動的水平載荷試験法は、鋼管杭を対象に杭に直接重錘を水平打撃する手法とした。研究手法は、まず現場において鋼管杭の静的水平載荷試験を行い、次に開発したシステムを用いて動的水平載荷試験を実施し、静的および動的試験で得られた荷重～杭水平変位量および水平地盤反力係数の結果を対比し、システムの実用性を検証した。



図-2にマッチング解析における杭と地盤のモデルを示す。杭と地盤のモデルは質量 $m_i$ 、杭の剛性は梁要素 $(K_p)_i$ 、地盤は杭節点に連結されたばね $\zeta k$ とダッシュポット $\xi c$ で表現する。各節点には鉛直方向および水平方向2点の計3点のばねと3つのダッシュポットが連結されている。ただし、動的モデルでは、剛性および減衰とともに、水平方向間、鉛直方向間および水平鉛直間の相互作用は全て考慮していないが、静的モデルでは水平地盤ばねの相互作用を考慮した。ここで、 $\zeta k$ は $xk$ 、 $yk$ および $zk$ 、 $hk$ は $xk$ および $yk$ 、 $\xi c$ は $xc$ 、 $yc$ および $zc$ 、 $hc$ は $xc$ および $yc$ の総称である。(以下、添え字の $\zeta$ は $x$ 、 $y$ 、 $z$ 方向の総称であり、添え字の $h$ は $x$ 、 $y$ 方向の総称とする。)

図-2より、杭の運動方程式は式(1)で表される。

$$[K]\{w\} + [C]\{\dot{w}\} + [M]\{\ddot{w}\} = \{F\} \quad (1)$$

ここに、 $\{w\}$ 、 $\{\dot{w}\}$ 、 $\{\ddot{w}\}$ は接点の変位、速度、加速度ベクトル、 $[K]$ 、 $[C]$ 、 $[M]$ は剛性、減衰および質量マトリックスであり、 $\{F\}$ は外力ベクトルである。 $[K]$ および $[C]$ は、水平および鉛直方向の杭の剛性と地盤ばね剛性および地盤の逸散減衰係数で構成される。また $[M]$ は、杭の質量と鉛直方向の先端地盤の付加質量が含まれる。

杭の運動方程式が非線形であるため、式(1)を増分形式のマトリックス法を用いて3次元の杭・地盤の運動方程式を組み立て式(2)が得られる。

$$\{F\}_t + [K]\{\Delta w\}_{t+\Delta t} + [C]\{\dot{w}\}_{t+\Delta t} + [M]\{\ddot{w}\}_{t+\Delta t} = \{F\}_{t+\Delta t} \quad (2)$$

ここに、 $\{F\}_t$ は時刻 $t=t$ における節点外力ベクトルであり、 $\{\Delta w\}_{t+\Delta t}$ は時刻 $t=t$ と時刻 $t=t+\Delta t$ の間の節点変位の増分である。なお、数値解析にはNewmarkの $\beta$ 法<sup>8)</sup>を用いた。

## (2) 動的剛性・減衰のモデル化

図-3に杭周面の水平および鉛直抵抗地盤モデルを示す。動的な剛性・減衰の初期値の第一次近似値として、地盤を等方弾性体と仮定し、杭周面における2方向の水平ばね $xk$ 、 $yk$ 、水平ダッシュポット(逸散減衰) $xc_r$ 、 $yc_r$ 、および鉛直ばね $zk$ 、鉛直ダッシュポット(逸散減衰) $zc_r$ を式(3)、(4)で与える<sup>9)</sup>。

$$xk = yk = \frac{4.0G_s}{d}, zk = \frac{2.75G_s}{\pi d} \quad (3)$$

$$xc_r = yc_r = \frac{4.5G_s}{V_s}, zc_r = \frac{G_s}{V_s} \quad (4)$$

ここに、 $G_s$ と $V_s$ は地盤のせん断剛性とせん断波速度、 $d$ は杭の直径である。また、地盤のヤング係数 $E_s$ 、せん断弾性係数 $G_s$ 、せん断速度 $V_s$ 、ポアソン比 $\nu_s$ 、密度 $\rho_s$ の関係には式(5)を用いた。

$$V_s = \sqrt{G_s / \rho_s}, G_s = \frac{E_s}{2.0(1.0 + \nu_s)} \quad (5)$$

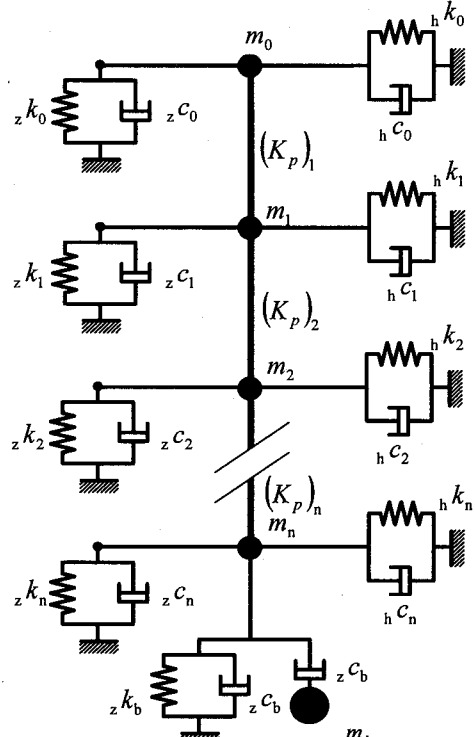


図-2 杭と地盤のモデル

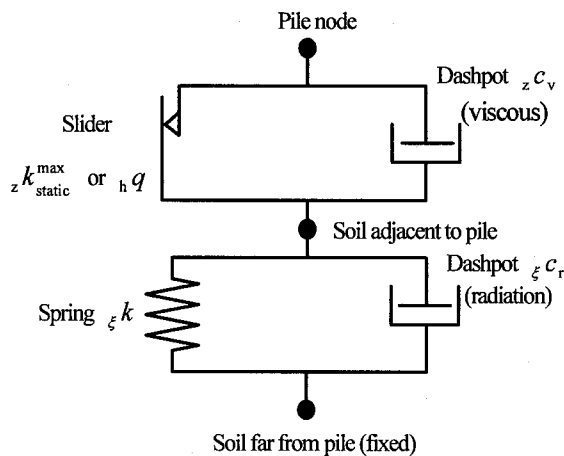


図-3 杭周面の鉛直・水平抵抗地盤モデル

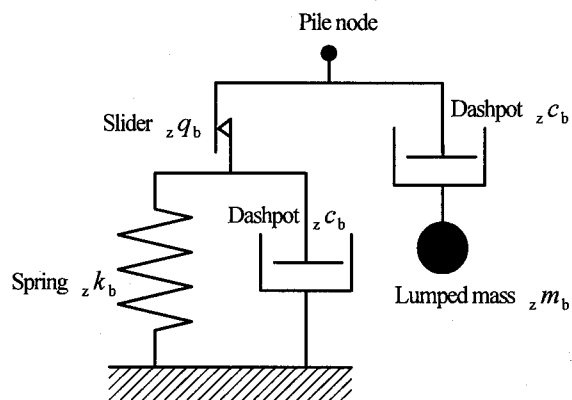


図-4 鉛直先端地盤モデル



表-1 鋼管杭の諸元

杭種	杭長 (m)	杭径 (mm)	板厚 (mm)	ヤング係数 (kPa)	ポアソン比	密度 (t/m <sup>3</sup> )
上杭	6.0	800	15	$2.06 \times 10^8$	0.3	7.8
下杭			9			

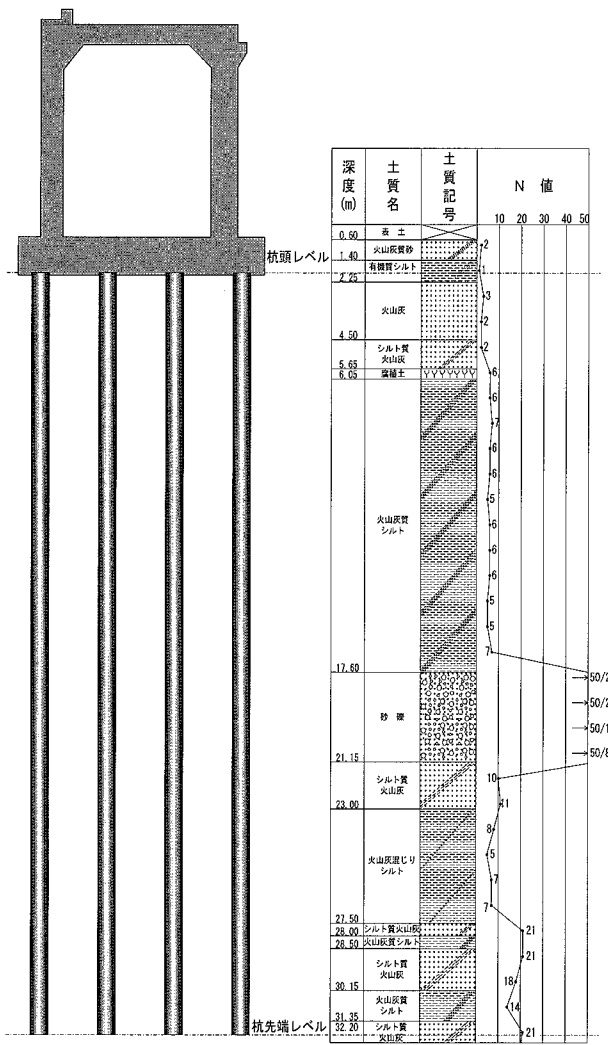


図-5 地盤柱状図

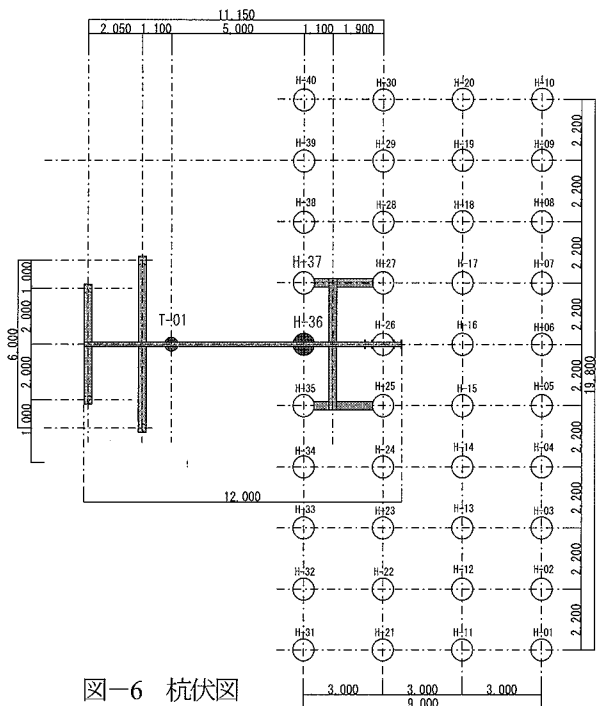


図-6 杭伏図

( $k_h=19,000 \text{ kN/m}^3 / k_h=14,330 \text{ kN/m}^3$ ) の関係にある。

このため、破碎性の性質をもつ火山灰土であっても当該の鋼管杭は、設計値に対し過大でない範囲で一定の水平抵抗を確保しているものと判断された<sup>16)</sup>。

## 6. 杭の動的水平載荷試験法

### 6.1 杭の動的水平載荷試験概要

钢管杭の動的水平載荷試験は、静的水平載荷試験と同様に、本杭を試験時の地表から一定長を突出した状態で実施した。計測する物理量は、重錐の杭に与える衝撃力、杭の水平方向の変位・加速度および杭の縦方向とせん断のひずみである。なお、試験は静的水平載荷試験と同様に、杭頭自由の条件で行なった。

重錐の杭に与える衝撃力は、杭に設置したロードセルに重錐を衝突させて計測した。また、不動梁は2本のH型鋼の杭を柱として打設する門型とした。なお、杭の水平変位の計測高さは静的水平載荷試験と同位置の杭の打撃高さ（杭頭から300mm下、地盤面から500mm上）とした。また、杭の水平方向の加速度の計測位置も変位と同一とした。杭のせん断ひずみ・変位・加速度、重錐の加速度は左右の2点で計測し、相加平均で評価した。なお、加速度計は最大計測 $\pm 250\text{G}$ のものを用いた（図-1）。

### 6.2 動的水平載荷試験結果

杭の動的水平載荷試験で得られた杭の時刻歴の計測波形を図-7に示した。図-7(a), (b), (c)が、それぞれロードセルによる動的荷重波形、変位計による変位波形、2軸ひずみゲージ杭によるせん断ひずみ波形である。図-7では、動的荷重に対し、変位には時間遅れが生じるがせん断ひずみには時間遅れが見られない。変位に時間遅れが生じるのは、動的効果が生じているためと考えられる。そのため、動的解析が必要となる。一方、せん断ひずみに時間遅れが生じない理由は、打撃荷重が鋼管杭に直に伝播したためである。ただし、計測波形からは、重錐がロードセルを介して鋼管杭に生じた力の伝達は比較的スムーズであったと判断される。

図-7(a)におけるロードセルで計測された動荷重の波形は、荷重が立ち上がりから零に戻るまでの時間は約70ms程度であり、荷重の最大ピーク値の20%程度の載荷時間は約40ms程度である。重錐による動的水平荷重および杭のせん断ひずみの時刻歴波形は片側のみに振れる。

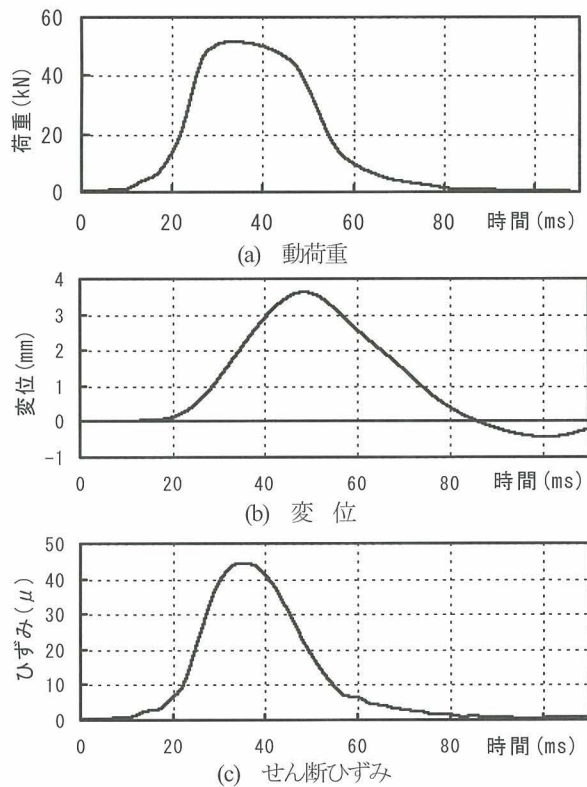


図-7 動的水平載荷試験の時刻歴波形

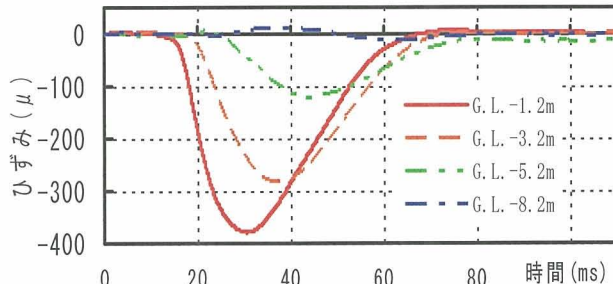


図-8 細径杭の鉛直方向の軸ひずみ時刻歴波形

しかし、杭頭の変位は最初に押された側に変位するが、最大変位後、徐々に変位が減少し、零に戻り、次に最初とは反対方向に振れ、その後に零に戻っている。これは杭に生じる慣性力のためと推定される。

本杭ひずみの計測点は杭頭のみであるため、打撃時の直杭の曲げ応力がどの深さまで生じているかは不明である。ただし、細径杭（T-01:  $\phi 500\text{mm}$ , 杭長 12.0m）では、地表面から、①G.L.-1.2m, ②-3.2m, ③-5.2m, ④-8.2m に鉛直向のひずみを計測した。図-8 に細径杭の深さ方向の軸ひずみ分布を示す。この結果、G.L.-1.2m, -3.2m, -5.2m と計測点が深くなるにつれて鉛直方向の軸ひずみが小さくなつておらず、-8.2m では位相の反転が確認できる。この結果から、細径の地中部第一不動点は-5.2m より以深にあると推定できる。本杭および細径杭の杭特性長  $1/\beta$  が、それぞれ、3.79m, 2.82m であることを考慮すれば、本杭および細径杭において、本試験装置で充分な杭の曲げを生じさせたものと推定できる。

また、軸ひずみは、深い計測点ほど時間遅れが大きくな

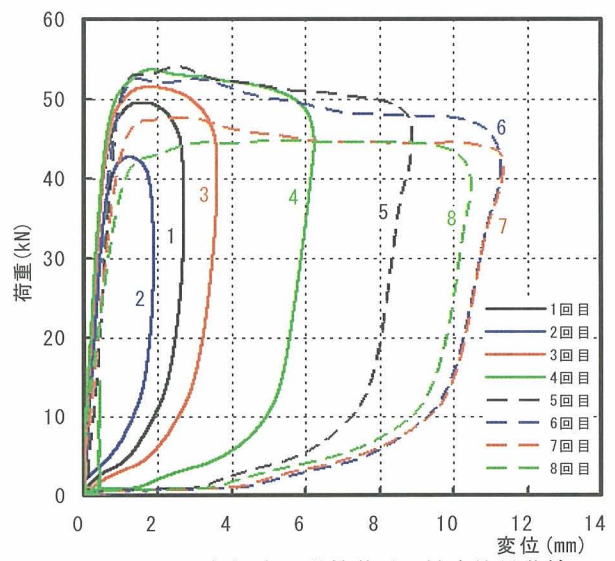


図-9 加振点の動的荷重一杭変位量曲線

っており、深いほど動的効果の大きいことが確認できる。なお、細径杭の変位波形では、太径と同様に荷重に対して変位に時間遅れが認められた。

図-9 に動的水平載荷試験の結果から得た、荷重一杭水平変位曲線を示す。試験は、打撃力をロードセルで計測し、荷重を少しづつ大きくしながら行なったが、1回目と2回目の荷重の大きさは逆になった。4回目以上は、人数および走行距離で打撃力を大きくしても、荷重は増加せず杭頭の変位のみが増加するようになった。なお、7, 8回目は人員および走行距離を大きくしたが、荷重は大きくならなかった。図中の数字は杭を加振した順番を示す。

この荷重一変位量曲線から、以下のことが明らかになった。

- ①小さな衝撃の動的荷重では、明らかな弾性挙動を示す。
- ②杭への衝撲の動的荷重が大きくなると徐々に弾塑性的な挙動を示す。
- ③杭の変位の増加域と減少域では荷重／水平変位の勾配が異なる。塑性域が大きくなるに従い、更に顕著となる。

④一度、地盤が大きな塑性域の変形を経験すると塑性域の最大荷重が低下し、経験したループをたどる傾向が確認される。

⑤に示した杭の変位増加域と減少域で荷重／水平変位の勾配が異なる理由として、杭が増加域では地盤間に隙間が生じるが、減少域ではその隙間が戻るため、地盤の剛性が異なってくると推定される。この地盤の剛性を評価するモデルとしては、変位減少域において地盤ばねを小さく設定するモデルなどが考えられる。

また、④の理由として、地盤が何回か塑性域に入ると地盤の剛性が低下し、一度履歴した変位までは小さい力で到達するためと考えられる。

図-9 で杭は明らかに弾塑性のループを描いているが、図-9, 10 で、杭には残留変位の生じないことが確認できる。この理由として、地盤の地表面付近は塑性領域に達し

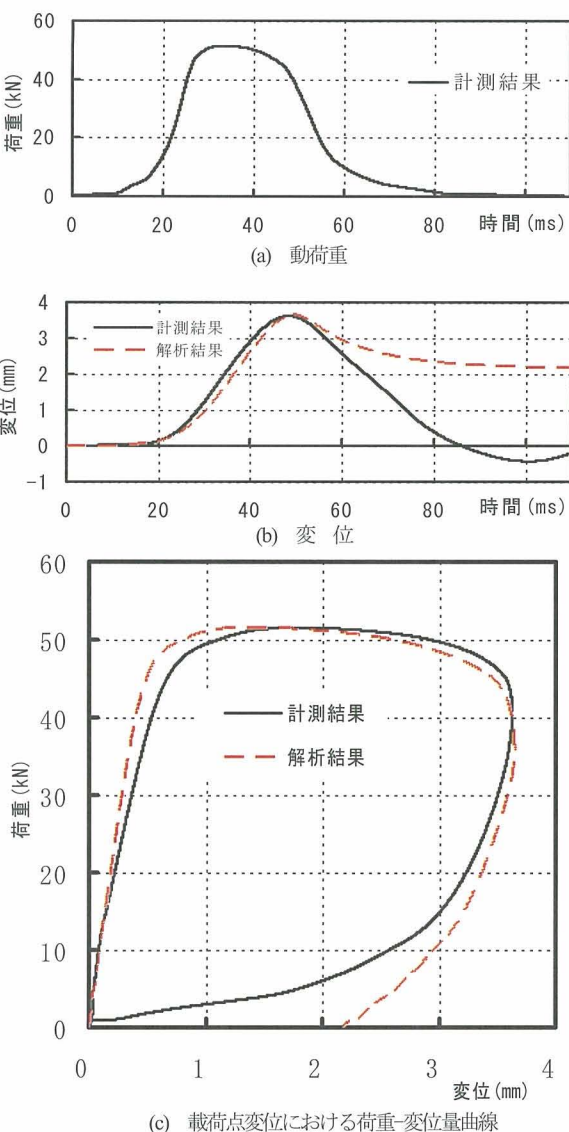


図-10 動的水平載荷試験結果とマッチング結果

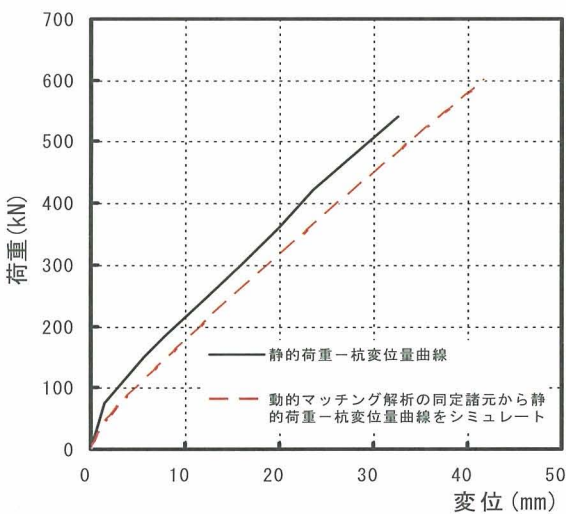


図-11 荷重-杭変位量曲線

表-2 マッチングで同定した地盤諸元

深さ (m)	ヤング係数 (kPa)	ポアソン比	最大水平抵抗 (kPa)	密度 (t/m <sup>3</sup> )
0.0~ 3.6	20,000	0.300	18.1	1.70
3.6~15.6	24,000	0.300	弾性範囲	1.40
15.6~	140,000	0.300	弾性範囲	2.00

注 図-2のボーリング柱試験のGLは剪断調査時の地表を基準としているが、表-2のGLはそれ以後の載荷試験時の地表を基準とした

ているが、鋼管杭が弾性領域で、かつ、鋼管杭の剛性が地盤の剛性より大きいため杭に残留変位が生じないものと推定される。

## 7. 波形マッチング解析

解析の杭の分割長は0.40mとした。また、解析モデルは載荷試験の地表を基準に、杭の分割長を考慮し表-2示すように、砂層を0~3.6m、シルト層を3.6~15.6m、砂礫層を15.6m以下とした。深い層の地盤剛性は杭頭の水平変位に影響しないと判断したためである。

杭頭の変位波形の立ち上がりのマッチングで第1層の地盤のヤング係数を決定し、変位の最大振幅で地盤の最大水平抵抗を設定した。杭の水平変位は、地表面で大きく地中深くなるにつれて小さくなるため、第2層、第3層は弾性範囲としまッチングするよう地盤のヤング係数を決めた。表-2にマッチング解析で同定された最終の地盤諸元を示す。

マッチング解析では、杭の動的水平荷重を入力とし、出力に杭の載荷点の変位波形を求め、変位計で計測した杭の変位波形と比較した。なお、マッチングに用いた動的荷重のデータは図-9に示す3番目の波である。

図-10に動的水平載荷試験のマッチング解析を示した。図-10(a)の実線が入力した動的水平荷重である。図-10(b)に計測および解析の両方の変位波形を示す。実線が計測波形、破線が解析波形であるが、最大変位後にマッチング結果にずれが生じている。これは、杭が衝撃荷重を与えられて振動し、杭が最大変位に達してから、杭と地盤間に隙間が生じ、地盤の剛性が変化するためと推定される。この対処法として、変位が減少域に入った時点での地盤ばねの剛性を切るモデルとするなどの評価の検討が考えられる。しかし、変位の時刻歴は最大変位まで良い対応を示していることからマッチングは良好と判断した。

図-10(c)は、載荷点における荷重-変位量関係を計測結果とマッチング解析結果で比較したものである。実線が計測結果、破線がマッチング解析結果であるが、ほぼ等しい曲線であることから、杭水平抵抗すなわち地盤剛性の評価は妥当と考えられる。

図-11は、本杭の静的水平載荷試験と動的水平載荷試験とから得られた荷重-杭変位量関係を対比したものである。実線は静的載荷試験の計測結果、破線は動的水平載荷試験のマッチング解析から静的荷重-杭変位をシミュレーシ

